

ผลการทดลอง
(Results)

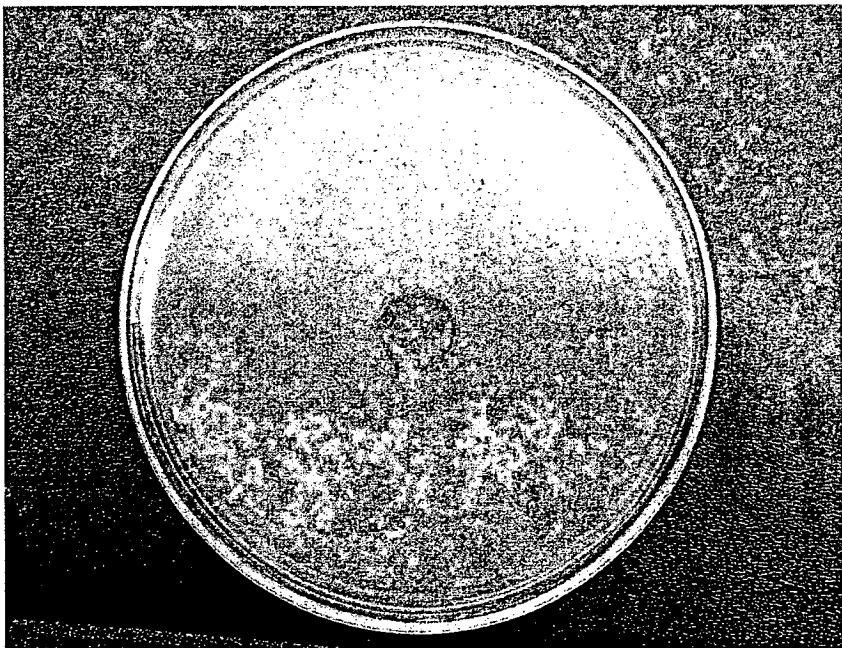
1. การตรวจหาแบคเทอโริโอเพจจากอาหารหมักชนิดต่าง ๆ ซึ่งสามารถทำลาย

***Lactococcus lactis* subsp. *lactis* TFF221**

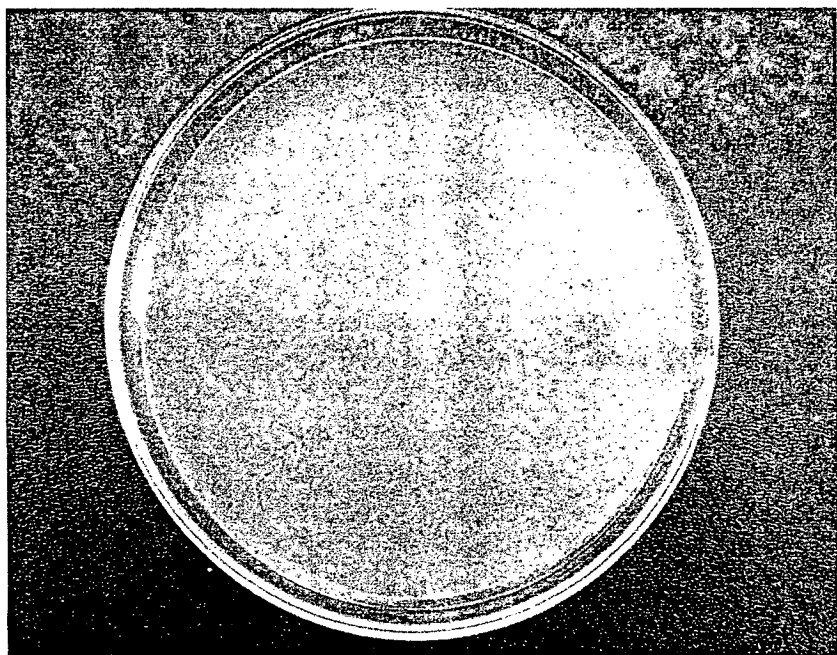
จากการนำตัวอย่างอาหารหมักชนิดต่าง ๆ จำนวน 30 ตัวอย่างมาทำการตรวจหาแบคเทอโริโอเพจซึ่งสามารถทำลาย *L. lactis* subsp. *lactis* TFF221 โดยวิธี enrichment method จากนั้น จึงทดสอบความสามารถในการทำลาย *L. lactis* subsp. *lactis* TFF221 ของแบคเทอโริโอเพจโดย วิธี spot test พบว่าสามารถแยกแบคเทอโริโอเพจซึ่งทำลาย *L. lactis* subsp. *lactis* TFF221 ได้ จากอาหารหมัก 1 ชนิดคือ กุ้งจอม (ตารางที่ 6) โดยสังเกตจาก clear zone ที่ปรากฏบนผิวน้ำ อาหารที่มีการเจริญของ *L. lactis* subsp. *lactis* TFF221 (รูปที่ 6) เมื่อนำสารละลายที่มีแบคเทอโริโอเพจอยู่นั้นไปทำการแยกแบคเทอโริโอเพจให้ได้ single plaque โดยวิธี double-layer agar plaque assay พบว่าเกิด plaques ที่มีขนาดเส้นผ่านศูนย์กลางโดยเฉลี่ยประมาณ 1 มิลลิเมตร (รูปที่ 7) เก็บ plaque ที่อยู่เดียว ๆ นั้นไปเพิ่มจำนวน (propagation) เพื่อให้ได้ปริมาณมาก และ ตรวจสอบค่า titer [plaque forming unit (pfu)/ml] เรียกชื่อแบคเทอโริโอเพจที่แยกได้นี้ว่า φTFF221 และเก็บรักษาไว้ที่อุณหภูมิ -20 องศาเซลเซียสเพื่อศึกษาในขั้นต่อไป

ตารางที่ 6 ชนิดและจำนวนอาหารหมักและการตรวจพับแบคเทอโริโอเพจ

อาหารหมัก	จำนวนตัวอย่าง	จำนวนแบคเทอโริโอเพจที่แยกได้
ผักดอง	7	0
แหนม	4	0
ไส้กรอกอีสาน	4	0
หม่าล่า	3	0
กุ้งจอม	4	1
ปลาส้ม	4	0
เค็มบักนัด	4	0



รูปที่ 6 clear zone ของแบคเทอเรียโอลิฟเจ φTFF221 เมื่อทดสอบโดยวิธี spot test



รูปที่ 7 ลักษณะของ plaque ของแบคเทอเรียโอลิฟเจ φTFF221

2. ความสามารถของแบคเทอโริโอเฟจในการทำลายแลคติกแอดสิดแบคทีเรียสายพันธุ์อื่น

เมื่อนำแบคเทอโริโอเฟจ φTFF221 ไปทดสอบความสามารถในการทำลายแลคติกแอดสิดแบคทีเรียสายพันธุ์อื่นจำนวน 17 สายพันธุ์ดังต่อไปนี้ *Lactococcus lactis* ATCC11454, *Lactococcus lactis* subsp. *lactis* ATCC11007, *Lactobacillus acidophilus* ATCC4356, *Lactobacillus brevis* ATCC14869, *Lactobacillus brevis* UBUB001, *Lactobacillus casei* ATCC334, *Lactobacillus curvatus* ATCC25601, *Lactobacillus delbrueckii* subsp. *lactis* ATCC12315, *Lactobacillus pentosus* ATCC8041, *Lactobacillus plantarum* ATCC8014, *Leuconostoc cremoris* ATCC19254, *Leuconostoc fallax* ATCC700006, *Leuconostoc mesenteroides* TISTR473, *Pediococcus pentosaceus* ATCC25745, *Pediococcus pentosaceus* TISTR374, *Enterococcus faecalis* ATCC29212 และ *Enterococcus faecalis* TISTR927 โดยวิธี spot test พบว่าแบคเทอโริโอเฟจ φTFF221 ไม่สามารถทำลายแลคติกแอดสิดแบคทีเรียดังกล่าวได้ ซึ่งสังเกตจากการไม่เกิด clear zone บนผิวน้ำอาหารที่มีส่วนผสมของแลคติกแอดสิดแบคทีเรียแต่ละชนิดเจริญอยู่ (ตารางที่ 7)

3. ผลของสารละลายน้ำ CaCl_2 ต่อการเพิ่มจำนวนของแบคเทอโริโอเฟจในโไฮสต์เซลล์

จากการศึกษาผลของสารละลายน้ำ CaCl_2 ต่อการเพิ่มจำนวนของแบคเทอโริโอเฟจ φTFF221 ในโไฮสต์เซลล์ โดยใช้สารละลายน้ำ CaCl_2 ที่มีความเข้มข้นต่าง ๆ กันดังนี้ 0, 1, 10, 20, 30, 40 และ 50 mM พบร้าเมื่อเดิน CaCl_2 ความเข้มข้นเท่ากับ 10 mM มีผลทำให้แบคเทอโริโอเฟจเพิ่มจำนวนได้สูงสุดเมื่อเวลาผ่านไป 6 ชั่วโมง โดยสามารถนับจำนวนแบคเทอโริโอเฟจได้เท่ากับ 1.92×10^9 pfu/ml (รูปที่ 8)

4. การยึดเกาะของแบคเทอโริโอเฟจบนผิวของโไฮสต์เซลล์

จากการศึกษาการยึดเกาะของแบคเทอโริโอเฟจ φTFF221 บนผิวเซลล์ของ *L. lactis* subsp. *lactis* TFF221 พบร้าเมื่อนำตัวอย่างแบคเทอโริโอเฟจที่เก็บที่เวลา 0, 5, 10, 15, 20, 25 และ 30 นาที มานับจำนวนเบรีบันเทียนกับชุดควบคุม และคำนวณเป็นค่าเปอร์เซ็นต์การยึดเกาะ (% adsorption of bacteriophage) พบร้าเปอร์เซ็นต์การยึดเกาะของแบคเทอโริโอเฟจ φTFF221 บนผิวเซลล์ของโไฮสต์มีค่าสูงขึ้นอย่างรวดเร็วในช่วง 5-10 นาทีแรก และมีค่าสูงสุดเท่ากับ 97.8% เมื่อเวลาผ่านไป 15 นาที (รูปที่ 9)

5. การเจริญของแบคเทอโริโอเฟจ

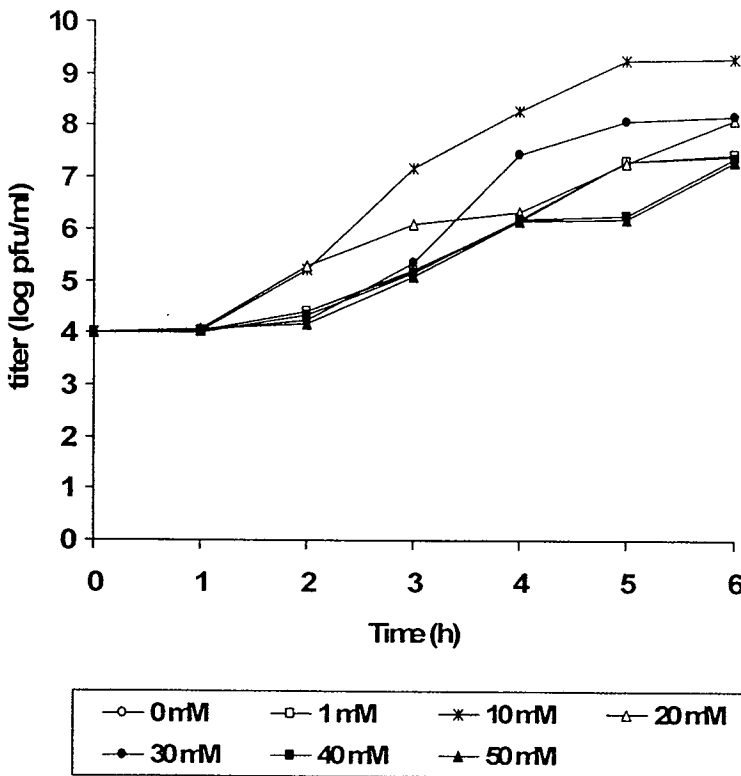
การเจริญของแบคเทอโริโอเฟจ φTFF221 (one-step growth curve) มีลักษณะดังกราฟในรูปที่ 10 โดยมี latent period เท่ากับ 30 นาที burst period เท่ากับ 120 นาที และ burst size เท่ากับ 60 pfu/เซลล์ที่ติดเชื้อ

ตารางที่ 7 ความสามารถในการทำลายแอลดิติกและสิ่ดแบคทีเรียสายพันธุ์ต่าง ๆ ของ
แบคเทอโริโอเฟจ φTFF221

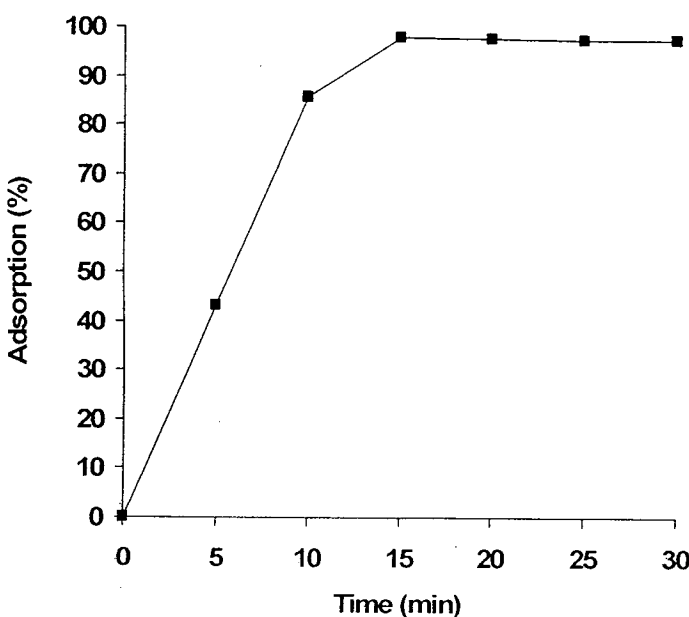
แலดิติกและสิ่ดแบคทีเรีย*	ผลการทดสอบ spot test [†]
<i>Lactococcus lactis</i> ATCC11454	—
<i>Lactococcus lactis</i> subsp. <i>lactis</i> TFF221	+
<i>Lactococcus lactis</i> subsp. <i>lactis</i> ATCC11007	—
<i>Lactobacillus acidophilus</i> ATCC4356	—
<i>Lactobacillus brevis</i> ATCC14869	—
<i>Lactobacillus brevis</i> UBUB001	—
<i>Lactobacillus casei</i> ATCC334	—
<i>Lactobacillus curvatus</i> ATCC25601	—
<i>Lactobacillus delbrueckii</i> subsp. <i>lactis</i> ATCC12315	—
<i>Lactobacillus pentosus</i> ATCC8041	—
<i>Lactobacillus plantarum</i> ATCC8014	—
<i>Leuconostoc cremoris</i> ATCC19254	—
<i>Leuconostoc fallax</i> ATCC700006	—
<i>Leuconostoc mesenteroides</i> TISTR473	—
<i>Pediococcus pentosaceus</i> ATCC25745	—
<i>Pediococcus pentosaceus</i> TISTR374	—
<i>Enterococcus faecalis</i> ATCC29212	—
<i>Enterococcus faecalis</i> TISTR927	—

* ATCC, American Type Culture Collection; TISTR, Thailand Institute of Scientific and Technological Research; TFF and UBUB, Culture Collection of Biological Science Department, Faculty of Science, Ubon Ratchathani University.

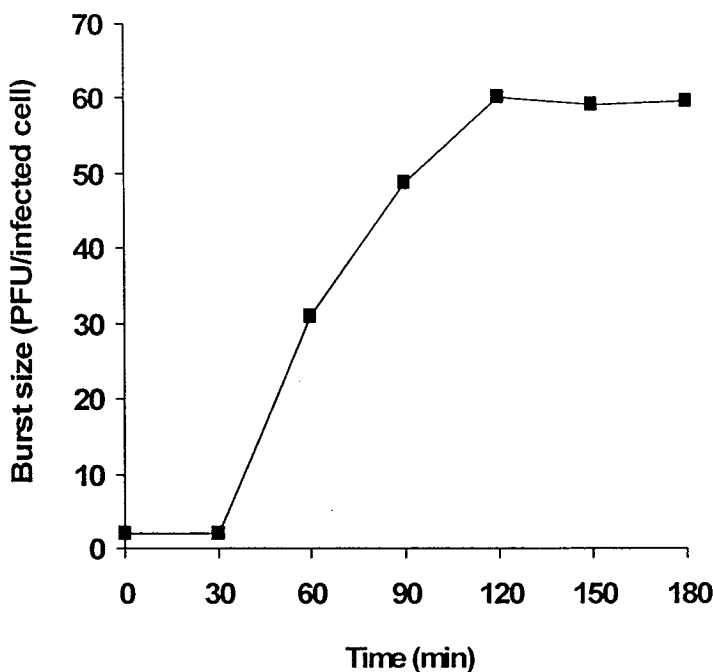
[†]+, clear zone; — no clear zone



รูปที่ 8 จำนวนแบคเทอเรียโลเฟจ φTFF221 ในสภาวะที่มีสารละลายน้ำแข็งแต่ 0-50 mM



รูปที่ 9 เปอร์เซ็นต์การยึดเกาะของแบคเทอเรียโลเฟจ φTFF221 บนผิวเชลล์ของ *L. lactis* subsp. *lactis* TFF221



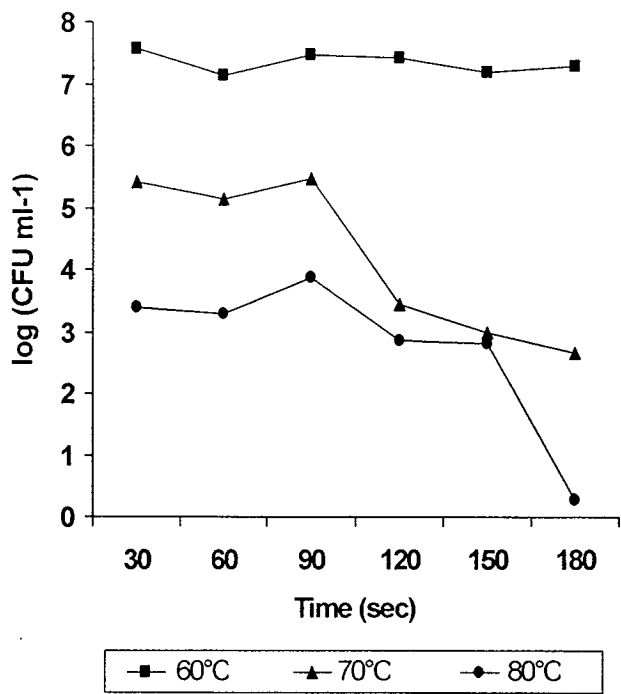
รูปที่ 10 One-step growth curve ของ แบคเทอเรียโอลิฟเจ ϕ TFF221

6. การทนความร้อน ทนความเป็นกรด-ด่าง และทนต่อสารละลายน้ำตาล (NaCl) ของแบคเทอโริโอเพจ

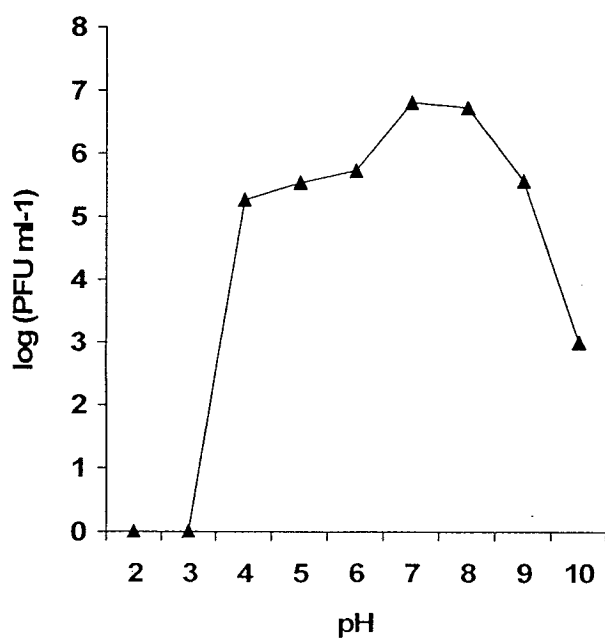
ผลการทนความร้อนของแบคเทอโริโอเพจที่อุณหภูมิ 60, 70, 80 และ 90 องศาเซลเซียส โดยเก็บตัวอย่างทุก ๆ 30 วินาที เป็นเวลา 3 นาทีมานับจำนวนแบคเทอโริเพจโดยวิธี double-layer agar plaque assay พบว่า แบคเทอโริโอเพจ φTFF221 ไม่ทนความร้อนที่อุณหภูมิ 90 องศาเซลเซียสจึงไม่สามารถนับจำนวนได้เลยตั้งแต่ 30 วินาทีแรก แต่แบคเทอโริโอเพจสามารถทนความร้อนที่อุณหภูมิ 60 และ 70 องศาเซลเซียส ทั้งนี้เมื่ออุณหภูมิสูงขึ้นการลดชีวิตของแบคเทอโริโอเพจจะลดลง สำหรับที่อุณหภูมิ 80 องศาเซลเซียส แม้ว่าในช่วง 150 วินาทีแรก แบคเทอโริโอเพจยังสามารถลดชีวิตได้บ้าง แต่ก็มีจำนวนลดลงจนแทบจะตรวจไม่พบเลยเมื่อครบเวลา 180 วินาที (รูปที่ 11)

ผลการทดสอบการทนต่อความเป็นกรด-ด่างของแบคเทอโริโอเพจ ในช่วง pH ตั้งแต่ 2-10 ที่อุณหภูมิ 30 องศาเซลเซียส เป็นเวลา 1 ชั่วโมง แล้วเก็บตัวอย่างมานับจำนวนแบคเทอโริโอเพจโดยวิธี double-layer agar plaque assay พบว่าแบคเทอโริโอเพจ φTFF221 สามารถมีชีวิตอยู่ได้ใน pH ช่วงกว้างตั้งแต่ 4-10 โดยมีการลดชีวิตมากที่สุดที่ pH เท่ากับ 7-8 (รูปที่ 12)

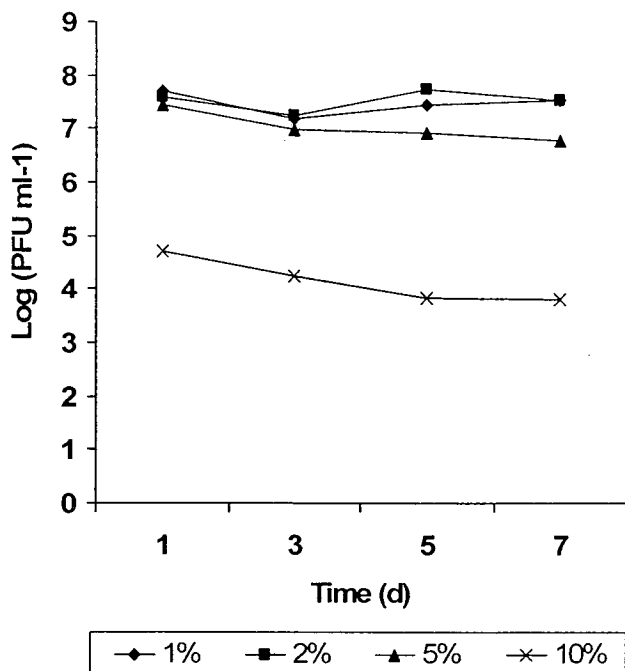
ผลการทดสอบการทนต่อสารละลายน้ำตาลโซเดียมคลอไรด์ (NaCl) ของแบคเทอโริโอเพจ โดยใช้สารละลายน้ำตาลโซเดียมคลอไรด์ที่มีความเข้มข้นเท่ากับ 1, 2, 5 และ 10% (w/v) และเก็บตัวอย่างในวันที่ 1, 3, 5 และ 7 ไปนับจำนวนแบคเทอโริโอเพจโดยวิธี double-layer agar plaque assay พบว่าแบคเทอโริโอเพจ φTFF221 สามารถทนต่อสารละลายน้ำตาลโซเดียมคลอไรด์ที่มีความเข้มข้นเท่ากับ 1, 2 และ 5 ได้ค่อนข้างดีโดยมีการลดชีวิตใกล้เคียงกันตลอดช่วงระยะเวลา 7 วันที่ทำการทดลอง แต่มีการลดชีวิตลดลงเมื่อออยู่ในสารละลายน้ำตาลโซเดียมคลอไรด์ที่มีความเข้มข้นเท่ากับ 10% โดยสารละลายน้ำตาลโซเดียมคลอไรด์ที่มีความเข้มข้นเท่ากับ 10% มีผลทำให้จำนวนของแบคเทอโริโอเพจลดลงตั้งแต่วันแรกที่ทำการทดลอง (รูปที่ 13)



รูปที่ 11 การทวนความร้อนของแบคเทอโริโอเฟจ φTFF221 ที่อุณหภูมิ 60, 70, และ 80 องศาเซลเซียส



รูปที่ 12 การทวนต่อความเป็นกรด-ด่างของแบคเทอโริโอเฟจ φTFF221 ในช่วง pH ตั้งแต่ 2-10



รูปที่ 13 การทนต่อสารละลายน้ำเดียมคลอไรด์ที่ความเข้มข้น 1, 2, 5 และ 10% ของ
แบคเทอโริโอเพจ φTFF221

7. รูปร่างของแบคเทอโริโอเฟจภายใต้กล้องจุลทรรศน์อิเลคตรอน

เมื่อนำแบคเทอโริโอเฟจ ϕ TFF221 มาทำให้บริสุทธิ์ (purified bacteriophage suspension) และนำไปดูผ่าน显微镜 electron microscope (TEM) พบร่างของแบคเทอโริโอเฟจ ϕ TFF221 มีรูปร่างของส่วนหัวเป็น icosahedral head ขนาดประมาณ 90×100 (กว้าง×ยาว) นาโนเมตร มีหางแบบ contractile tail ยาวประมาณ 140 นาโนเมตร ปลายหางมี baseplate จากรูปร่างลักษณะที่กล่าวมานี้จึงจัดอยู่ใน *Myoviridae family* (รูปที่ 14)

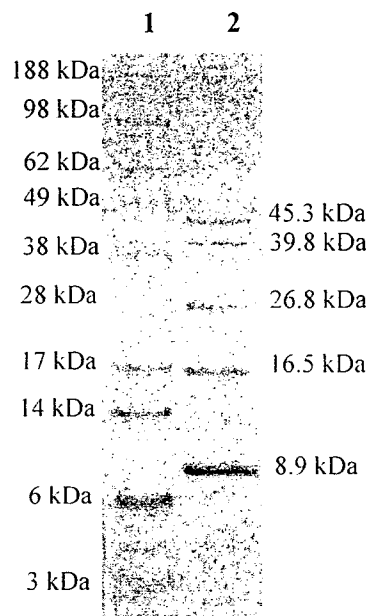


รูปที่ 14 ภาพถ่ายแบคเทอโริโอเฟจ ϕ TFF221 จากกล้องจุลทรรศน์อิเลคตรอน

8. โปรตีนและสารพันธุกรรมของแบคเทอโริโอล์ฟเจ

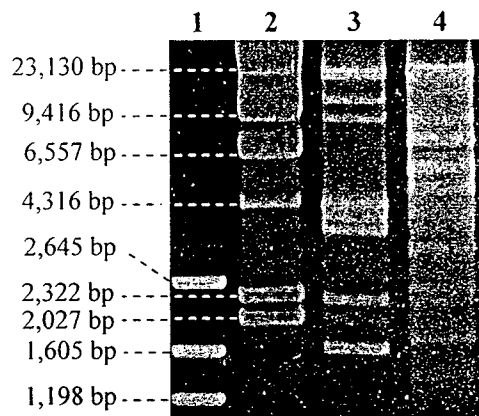
เมื่อนำสารละลายน้ำของแบคเทอโริโอล์ฟเจ φTFF221 บริสุทธิ์ (purified bacteriophage suspension) มาศึกษาโปรตีนโครงสร้าง (structural proteins) ของแบคเทอโริโอล์ฟเจโดยวิธี SDS-PAGE พบว่าแบคเทอโริโอล์ฟเจ φTFF221 มีโปรตีนโครงสร้างหลัก (major proteins) ประมาณ 5 ชนิด มีขนาดเท่ากับ 8.9, 16.5, 26.8, 39.8 และ 45.3 กิโลดอลตัน (kDa) (รูปที่ 15)

จากการสกัดสารพันธุกรรมของแบคเทอโริโอล์ฟเจ φTFF221 และตัดด้วยเอนไซม์ RNase และ restriction endonucleases ชนิดต่าง ๆ แล้วนำไปตรวจสอบขนาดของชิ้นส่วนสารพันธุกรรมของแบคเทอโริโอล์ฟเจ φTFF221 ไม่ถูกตัดด้วยเอนไซม์ RNase และ restriction endonuclease หลายชนิด (ไม่ได้แสดงผล) แต่ถูกตัดด้วย *Afl* II และ *Hpa* I (รูปที่ 16) จากผลการทดลองดังกล่าวแสดงว่าสารพันธุกรรมของแบคเทอโริโอล์ฟเจ φTFF221 น่าจะเป็น double-stranded DNA และเมื่อนำชิ้นส่วนสารพันธุกรรมที่ถูกตัดด้วย *Afl* II มาคำนวณขนาดของสารพันธุกรรมของแบคเทอโริโอล์ฟเจ φTFF221 คาดว่าน่าจะมีขนาดประมาณ 65 kb

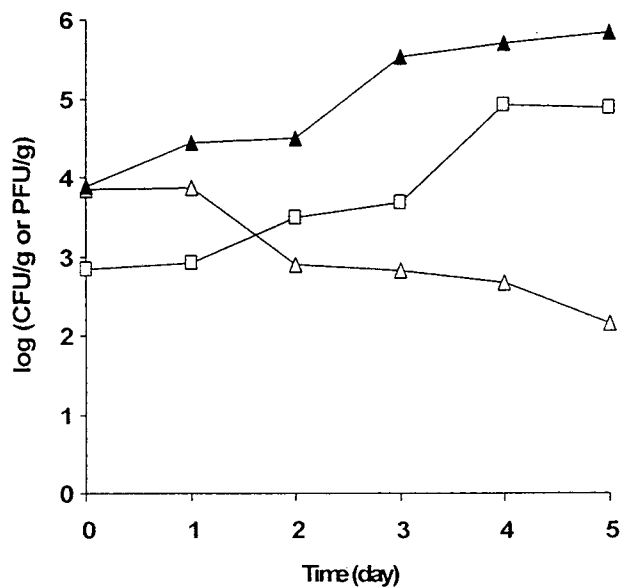


รูปที่ 15 โปรตีนโครงสร้างของแบคเทอโริโอล์ฟเจ φTFF221 เมื่อแยกโดยวิธี SDS-PAGE:

1; Standard protein marker (SeeBlue[®] Plus2), 2; แบคเทอโริโอล์ฟเจ φTFF221



รูปที่ 16 สารพันธุกรรมของแบคเทอเรียโพรีไฟจ φTFF221 เมื่อตัดด้วย restriction endonucleases :
1, pGEM DNA marker; 2, λ DNA ตัดด้วย Hind III; 3, phage φTFF221 genome
ตัดด้วย Afl II; 4, phage φTFF221 genome ตัดด้วย Hpa I



รูปที่ 17 การติดตาม *L. lactis* subsp. *lactis* TFF221-GFP⁺ และแบคเทอเรียโพรีไฟจ φTFF221 ในกระบวนการหมัก : ▲, แบคทีเรีย *L. lactis* subsp. *lactis* TFF221-GFP⁺ ในชุดควบคุม (control); △, แบคทีเรีย *L. lactis* subsp. *lactis* TFF221-GFP⁺ ในชุดการทดลอง; □, แบคเทอเรียโพรีไฟจ φTFF221 ในชุดการทดลอง

9. ผลของแบคเทอโริโอเฟจในการทำลายหัวเชื้อในกระบวนการหมัก

จากการทำทรายสฟอร์เมชัน (transformation) โดยการนำพลาสมิด pN014-GFP ใส่เข้าไปในเชลล์แบคทีเรีย *L. lactis* subsp. *lactis* TFF221 โดยวิธี electroporation พบว่าสามารถคัดเลือก transformant (*L. lactis* subsp. *lactis* TFF221-GFP⁺) ที่รับพลาสมิดดังกล่าวไว้ภายในเชลล์ และ transformant ดังกล่าวยังคงมีความไว (sensitive) ต่อแบคเทอโริโอเฟจ φTFF221 เมื่อทดสอบโดยวิธี spot test

เมื่อนำ *L. lactis* subsp. *lactis* TFF221-GFP⁺ ไปใช้เป็นหัวเชื้อในการหมักอาหาร ซึ่งในการศึกษานี้ใช้กุ้งจอมเป็นแม่แบบ (model) เพื่อศึกษาผลของแบคเทอโริโอเฟจ φTFF221 ในการทำลายหัวเชื้อ *L. lactis* subsp. *lactis* TFF221-GFP⁺ ในกระบวนการหมัก จากผลการติดตามแบคทีเรียหัวเชื้อและแบคเทอโริโอเฟจในชุดการทดลอง (เดิมหัวเชื้อและแบคเทอโริโอเฟจ) เปรียบเทียบกับชุดควบคุม (เดิมเฉพาะหัวเชื้อแต่ไม่เดิมแบคเทอโริโอเฟจ) พบว่าในชุดการทดลองจำนวน *L. lactis* subsp. *lactis* TFF221-GFP⁺ ลดลงจาก 3.84 log cfu/g ในครั้งแรกที่นับจำนวน (เวลาเริ่มดันหมัก) เป็น 2.16 log cfu/g ในวันที่ห้าของการหมัก ในขณะที่จำนวนแบคเทอโริโอเฟจ φTFF221 เพิ่มขึ้นจาก 2.84 log pfu/g ในครั้งแรกที่นับจำนวน (เวลาเริ่มดันหมัก) เป็น 4.88 log pfu/g ในวันที่ห้าของการหมัก แต่ในทางตรงกันข้ามในชุดควบคุมจำนวน *L. lactis* subsp. *lactis* TFF221-GFP⁺ เพิ่มขึ้นจาก 3.88 log cfu/g ในครั้งแรกที่นับจำนวน (เวลาเริ่มดันหมัก) เป็น 5.83 log cfu/g ในวันที่ห้าของการหมัก และไม่สามารถตรวจสอบแบคเทอโริโอเฟจ φTFF221 ได้เลยตลอดช่วงเวลาที่ทำการทดสอบ (รูปที่ 17) ดังนั้นผลการทดลองนี้ชี้ให้เห็นว่าการลดลงของหัวเชื้อ *L. lactis* subsp. *lactis* TFF221-GFP⁺ น่าจะเป็นผลมาจากการเพิ่มจำนวนของแบคเทอโริโอเฟจ φTFF221 และส่งผลให้เกิดการทำลายหัวเชื้อดังกล่าว